

Farbtafel 1



Abb. 1: Teilansicht eines Buddleia-Strauchs mit 10 Distelfaltern (von ca. 100) an der Strandpromenade von Dame, Schleswig-Holstein (Foto: KÖHLER).

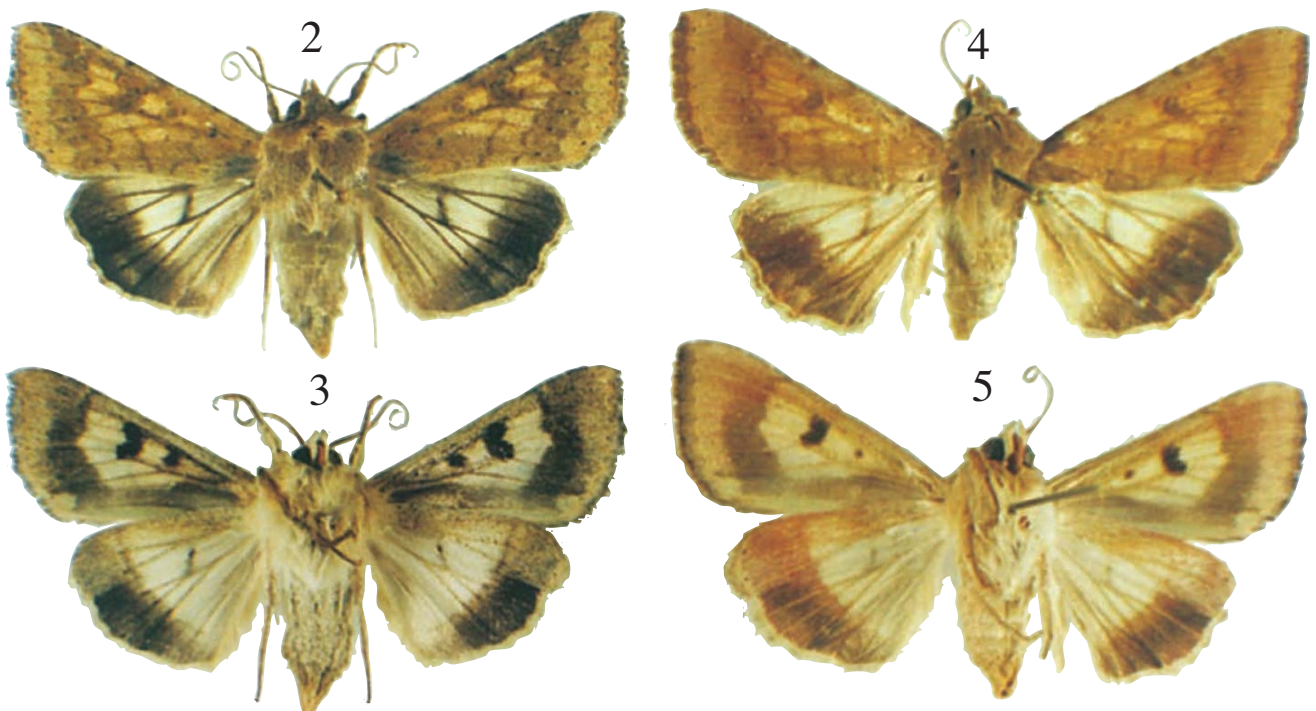
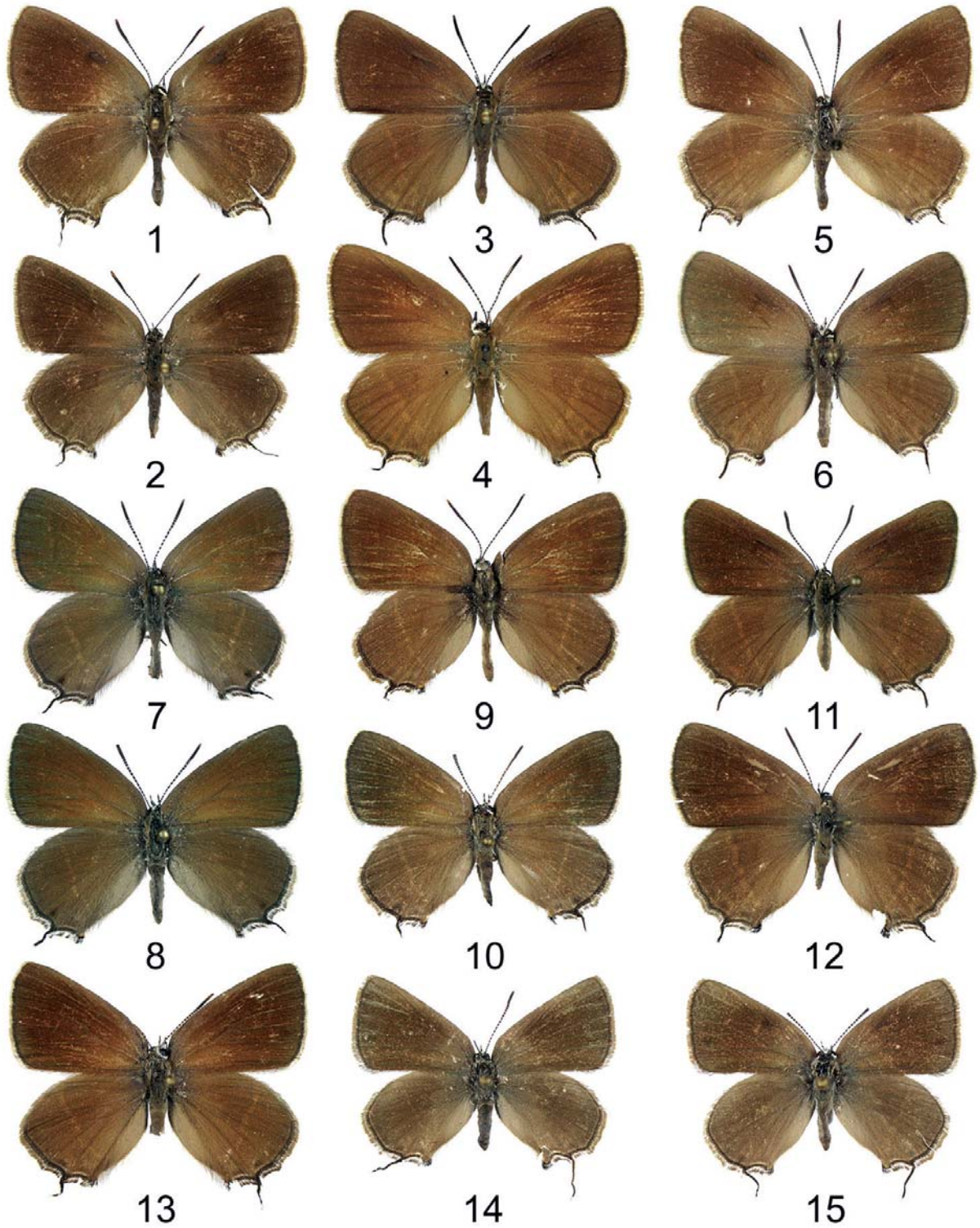


Abb. 2, 3: *Helicoverpa armigera armigera* (HÜBNER, [1803-1808]), ♀ Ober- und Unterseite, Göttingen-O, 9.IX.2009, LF, KOBES leg.

Abb. 4, 5: *Helicoverpa armigera armigera* (HÜBNER, [1803-1808]), ♀ Ober- und Unterseite, Vergleichsstück von Sumatra, Prapat HW2, 7.8.1992, Dr. DIEHL leg.

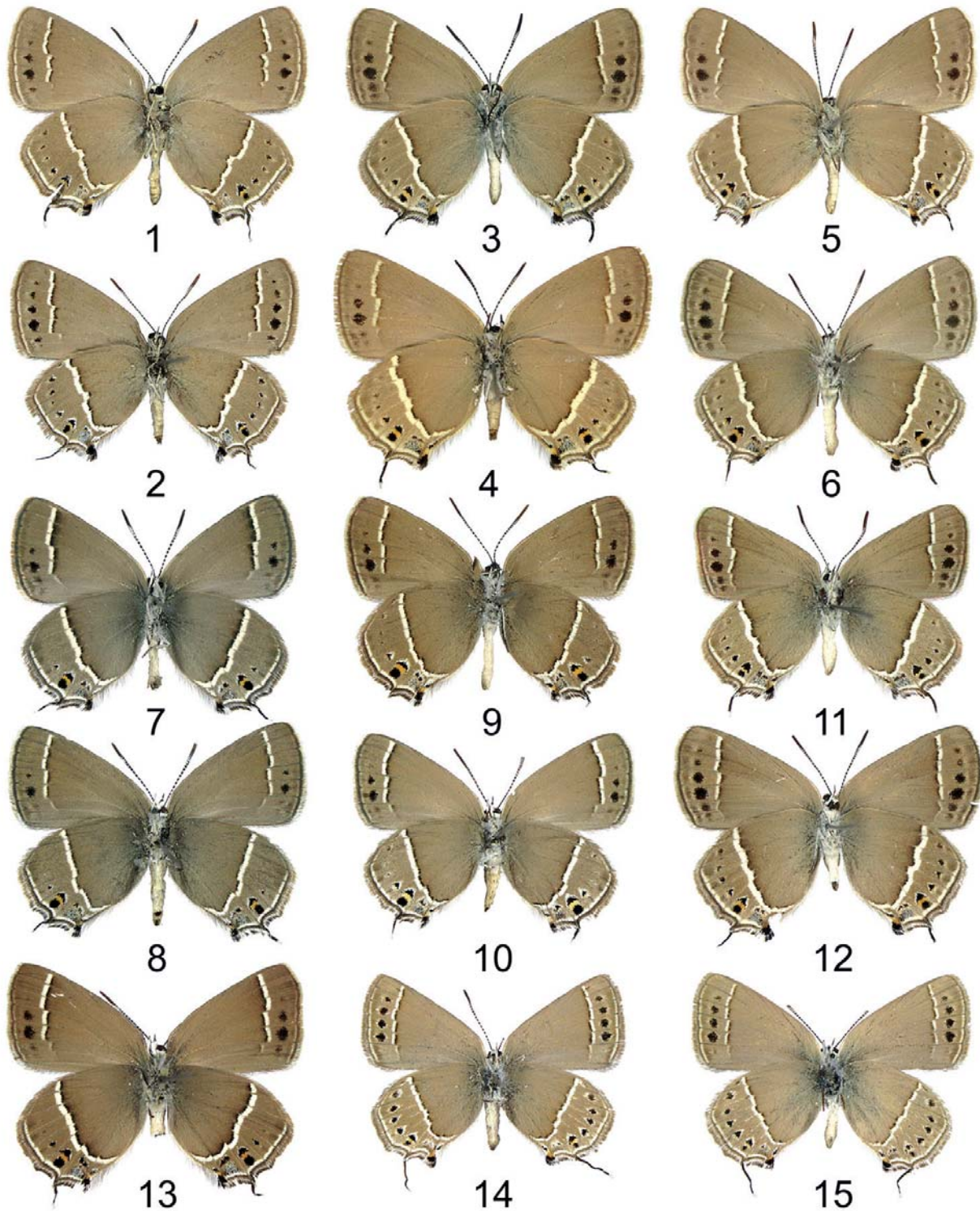
Colour plate 2/Farbtafel 2



Colour plate 2 (upperside) and 3 (underside)

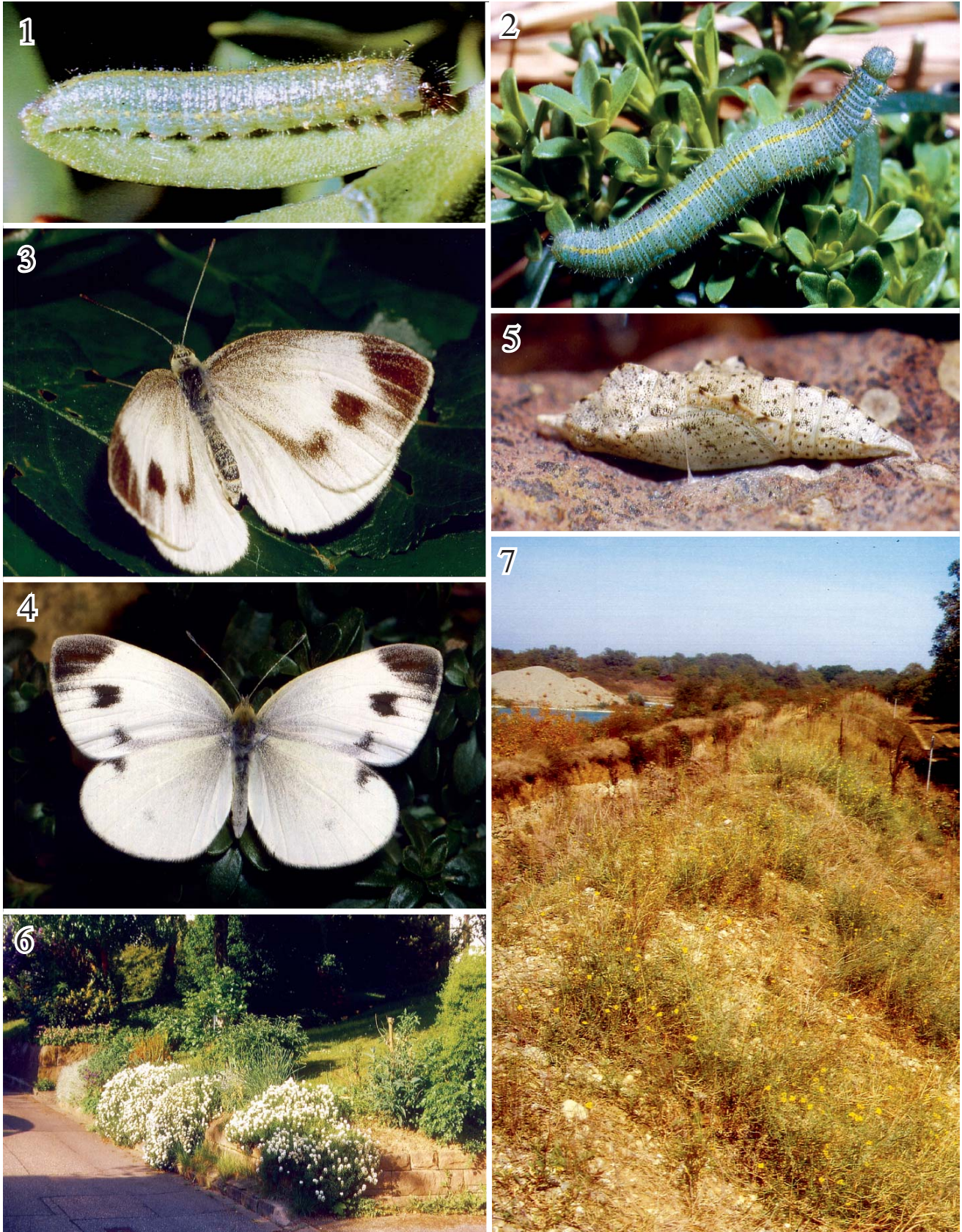
1. *Satyrium (Superflua) turkmanica* spec.nov., holotype ♂, W. Turkmenistan, W. Kopetdagh Mts., 15 km E Nokhur v., Ipay-Kola loc., 100 m., 8-20.06.1996, A. PETROV leg. 2. *Satyrium (Superflua) turkmanica* spec.nov., paratype ♀, same data as 1. 3. *Satyrium (Superflua) mirabilis* (ERSCHOFF, 1874), ♂ Tadjikistan, Fanskie Mts., Urech R., 7 km S Madovra v., Artuch loc., 2200-2400 m, 6-14.07.1998, VASILCHENKO YU. leg. 4. *Satyrium (Superflua) mirabilis* (ERSCHOFF, 1874), ♀, Tadjikistan, Ghissar (southern slopes), Kondara R., 12.06.1981, V. SOLJANIKOV leg. 5. *Satyrium (Superflua) mirabilis* (ERSCHOFF, 1874), ♂, Turkmenistan, Kugitang Mts., Karljuk, 9.05.1991. 6. *Satyrium (Superflua) mirabilis* (ERSCHOFF, 1874), ♂, Kyrgyzstan, Talas River valley, 3 km E Aral v., 1700 m, 3-4.06.2001, S. CHURKIN leg. 7. *Satyrium (Superflua) muksuria* spec. nov., holotype ♂, Tadjikistan, Peter the Great Range, Depshar v., 2200-2500 m, 18.07.2009, S. SALUK leg. 8. *Satyrium (Superflua) muksuria*

Colour plate 3/Farbtafel 3



spec. nov., paratype ♀, same data as 7. **9. *Satyrium (Superflua) zabirovi spec. nov.***, holotype ♂, Tadjikistan, West Pamirs, Vanch Mts., Gyshkhun v., 2000 m, 26-30.07.1992, S. CHURKIN leg. **10. *Satyrium (Superflua) zabirovi spec. nov.***, paratype ♀, Tadjikistan, West Pamirs, Vanch Mts., Gyshkhun v., 1800-2000 m, 1-2.07.2001, T. GAZIEV leg. **11. *Satyrium (Superflua) mirabilis* (ERSCHOFF, 1874)**, ♂, S. Tadjikistan, Khozratisho Range, Nikolaevsky Pass, 2500 m, 23.06.2000. **12. *Satyrium (Superflua) mirabilis* (ERSCHOFF, 1874) (?)**, ♂, Tadjikistan, West Pamirs, Rushan distr., 10-20.07.2002, 3500 m, V. GURKO leg. **13. *Satyrium (Superflua) deria* (MOORE, 1865)**, ♂, Tadjikistan, W. Pamirs, Ishkashimsky range, Ishkashim, 21-25.06.2001, A. PETROV leg. **14. *Satyrium (Superflua) sassanides* (KOLLAR, 1849)**, ♀, Iran, Fars, Kuh-e Bul, Pass W Eglid, 2800 m, 20.06.2001, W. TEN HAGEN leg. **15. *Satyrium (Superflua) sassanides* (KOLLAR, 1849)**, ♂, same data as 14.

Farbtafel 4/Colour plate 4



Farbtafel 4 und 5 (Abb. 1-9): *Pieris mannii alpigena* (VERITY,1911)

Abb. 1: Jungraupe (ca. 7 mm lang) vor der Häutung mit noch typisch schwarz gefärbtem Kopf. Merzhausen, 7.IX.2009.

Abb. 2: Erwachsene Raupe wenige Tage vor der Verpuppung. Merzhausen, 25.X.2009.

Abb. 3: ♀ (vermutlich 3. Gen.), Griebenheim, 4.VII.2009.

Farbtafel 5/Colour plate 5



Abb. 4: Frisch geschlüpftes ♀ (vermutlich 6. Gen.), Merzhausen, 18.X.2009 e. l.

Abb. 5: Puppe, Merzhausen, 18.X.2008.

Abb. 6: Anthropogener Lebensraum im Frühling. Im Vordergrund die blühende Eiablagepflanze *Iberis sempervirens*. Merzhausen, 4.V.2009.

Abb. 7: Xerotherme Ruderalflur mit Beständen von *Diplotaxis tenuifolia*, an denen sich Falter zur Nahrungsaufnahme und Eiablage einfanden. Frankreich, Elsaß, Umgebung Weckolsheim, 3.X.2009.

Abb. 8: Innerörtlicher Lebensraum im Sommer mit kräftig entwickelten *Iberis sempervirens*-Polstern über einer südexponierten Steinmauer. Rüzwiel, 11.VIII.2009.

Abb. 9: Südexponierte Rebböschung mit ausgedehnten Beständen der Raupennehrungspflanze *Diplotaxis tenuifolia*, Kaiserstuhl, Oberrotweil, 3.X.2009 (alle Fotos: R. HERRMANN).

Colour plate 6



Fig. 1, 2: *Mesoacidalia clara kanga* LANG **subspec. nov.**, holotype ♂, Kangding, Sichuan, dorsal, ventral.



Fig. 3, 4: *Mesoacidalia clara clarina* (STAUDINGER, 1901), ♂, NE. Qinghai, dorsal, ventral.



Fig. 5: *Fabriciana niobe kunlunensis* LANG **subspec. nov.**, holotype ♂, Kunlun Mts., Xinjiang.



Fig. 6: *Euphydryas maturna pseudomaturna* LANG **subspec. nov.**, holotype ♂, Jiamusi, Heilongjiang.



Fig. 7: *Neptis ananta lancangensis* LANG **subspec. nov.**, holotype ♂, Longyun, Yunnan.



Fig. 8: *Neptis obscurior obscurior* OBERTHÜR, 1906 **stat. nov.**, ♂, Mt. Omei, Sichuan.

Colour plate 7



Fig. 1: *Stichophthalma howqua bowringi* JOICEY & TALBOT, 1921, Mt. Wuzhishan, Hainan.

Fig. 2: *Stichophthalma fruhstorferi* RÖBER, 1903, Longzhou, Guangxi.



Fig. 3, 4: *Stichophthalma le* JOICEY & TALBOT, 1921 *stat. nov.*, Mt. Wuzhishan, Hainan.

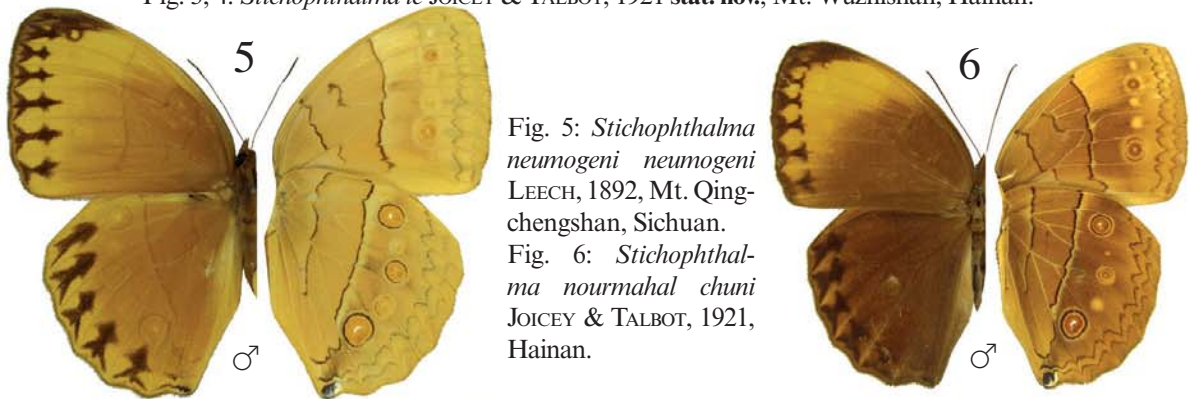


Fig. 5: *Stichophthalma neumogeni neumogeni* LEECH, 1892, Mt. Qingchengshan, Sichuan.

Fig. 6: *Stichophthalma noumahal chuni* JOICEY & TALBOT, 1921, Hainan.

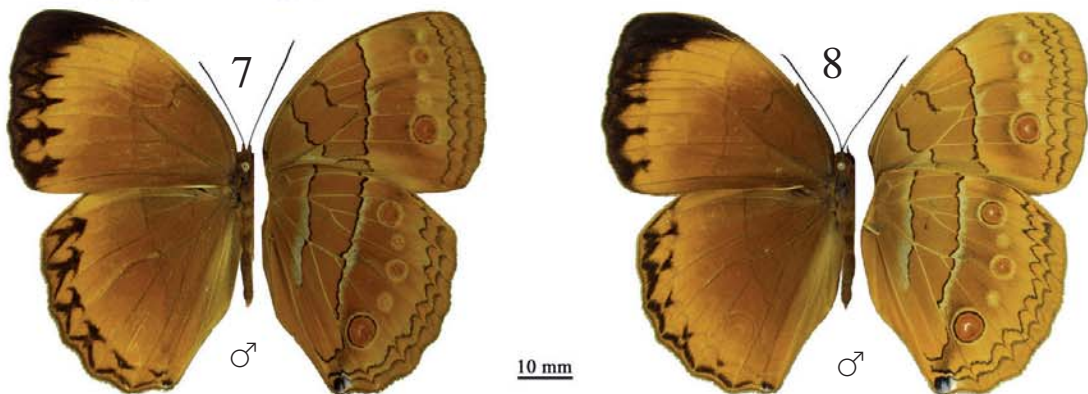
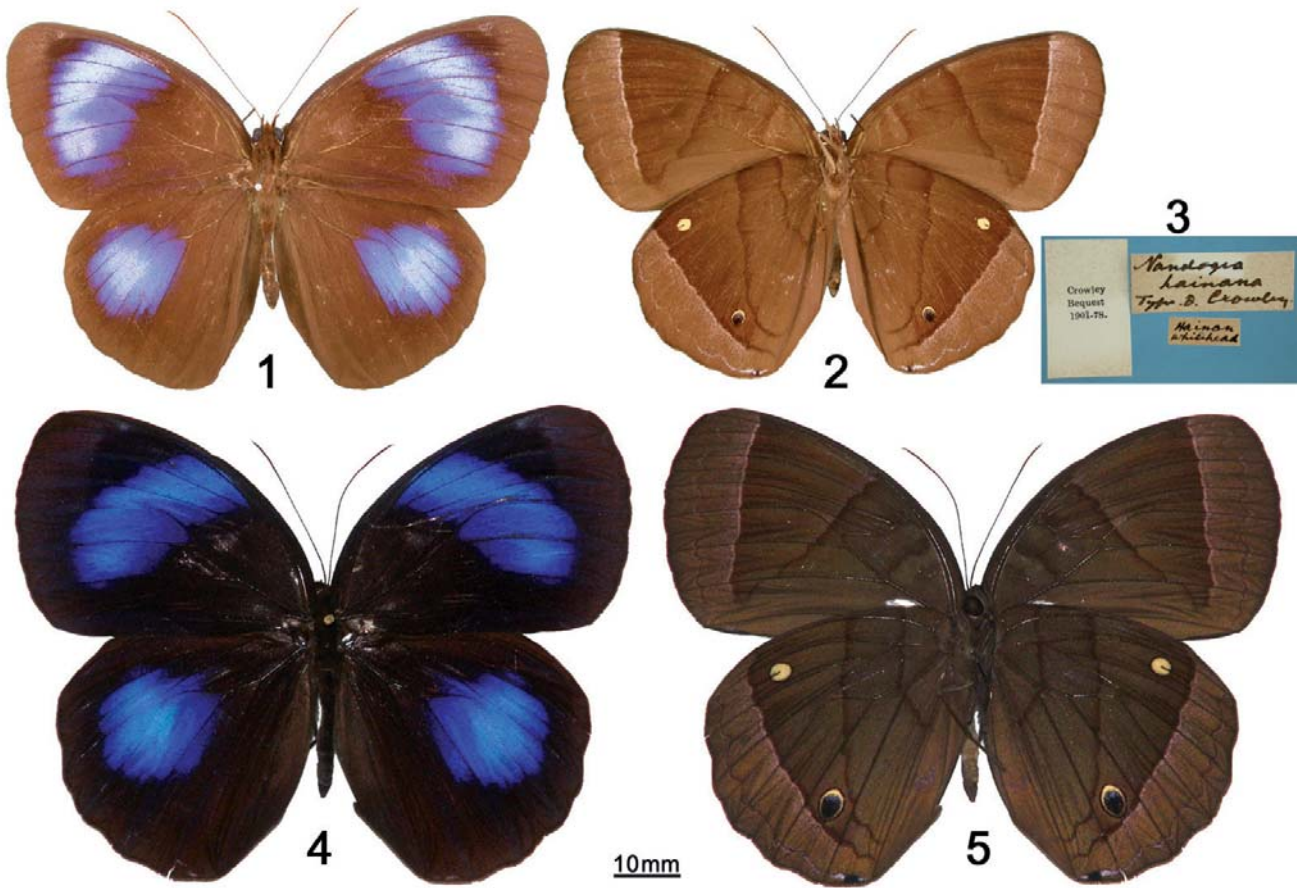


Fig. 7, 8: *Stichophthalma neumogeni renqingduojiei* HUANG, 1998, Motuo, SE. Tibet.

Farbtafel 8/Colour plate 8



Figs. 1-3: *Thaumantis hainana* (CROWLEY, 1900) stat. rev., ♂, type of *Nandogea hainana* CROWLEY, 1900, Hainan, dorsal, ventral, label (© Natural History Museum, London).

Fig. 4, 5: *Thaumantis diores* DOUBLEDAY, 1845, ♂, Medong, SE. Tibet, dorsal, ventral.



Fig. 6: *Promalactis yunnanella* spec. nov., Holotype ♂, China, province northern Yunnan (Li-kiang), 3.IX.1935, leg. H. HÖNE, Gen. prep. N 42, coll. Museum Alexander Koenig in Bonn.

Fig. 7: Paratypus ♂, China, province Zhejiang (Chekiang), West Tien-mu-shan, 17.V.1932, leg. H. HÖNE, COLL. Zoological Institute, Russian Academy of Science in St.-Petersburg.

Farbtafel 9

Atalanta 41 (1/2): 297, Würzburg (2010), ISSN 0171-0079

Eine seltene Farbvariante der Raupe des Totenkopfschwärmers

Acherontia atropos (LINNAEUS, 1758)

(Lepidoptera, Sphingidae)

VON

ROBERT MAZEL

eingegangen 2004

In „BERGES Schmetterlingsbuch“ (9. Auflage, 1910, Taf. 17: 1) wird durch REBEL eine Raupe von *A. atropos* (L.), die auf *Lycium barbarum* gefunden worden war, abgebildet und die mit der hier abgebildeten Raupe fast identisch ist. Diese Raupe wurde am 13.X.2003, nahe des Fließchens Orbieu nahe Lagrasse/südl. Lessignan-Carbieres, Dep. Aude, Frankreich von BIJIAOUI ROBERT gefunden und fotografiert. In der Nähe des Fundortes (feuchte Stellen mit *Salix*, *Populus*, *Fraxinus*, *Quercus* und Schilf) gab es keine Kartoffelfelder - vielleicht aber *Lycium*, auf der ich vor vielen Jahren (ca. 1955) schon Raupen gefunden hatte, mit jedoch normaler Farbtracht.



Anschrift des Verfassers

ROBERT MAZEL
6 rue des Cédres
F-66000 Perpignan

Colour plate 10

Atalanta 41 (1/2): 298, Würzburg (2010), ISSN 0171-0079

Über eine neue Farbabweichung von *Parnassius tianschanicus* OBERTHÜR, 1879 (Lepidoptera, Papilionidae)

VON

STANISLAV K. KORB

eingegangen am 6.I.2010

In Juli 2009 wurde in der Barskoon-Schlucht eine interessante Farbform von *Parnassius tianschanicus* OBERTHÜR, 1879 entdeckt. Normalerweise besitzt die Art tief-rote Ozellen auf den Hinterflügeln. Bei der neuen Farbform sind die Ozellen jedoch mehr orangefarbig. Ich benenne diese neue Form - im infraspezifischen Rang - als *Parnassius tianschanicus tianschanicus* forma *orangeocellata* nova.

Fundortdaten: 1 ♂. 14.VII.2009, Kirgisien, Terskey Ala-Too-Gebirge, Barskoon-Schlucht, Barskoon-Schlußoberlauf, 2700 m, leg. et coll. S. K.KORB.

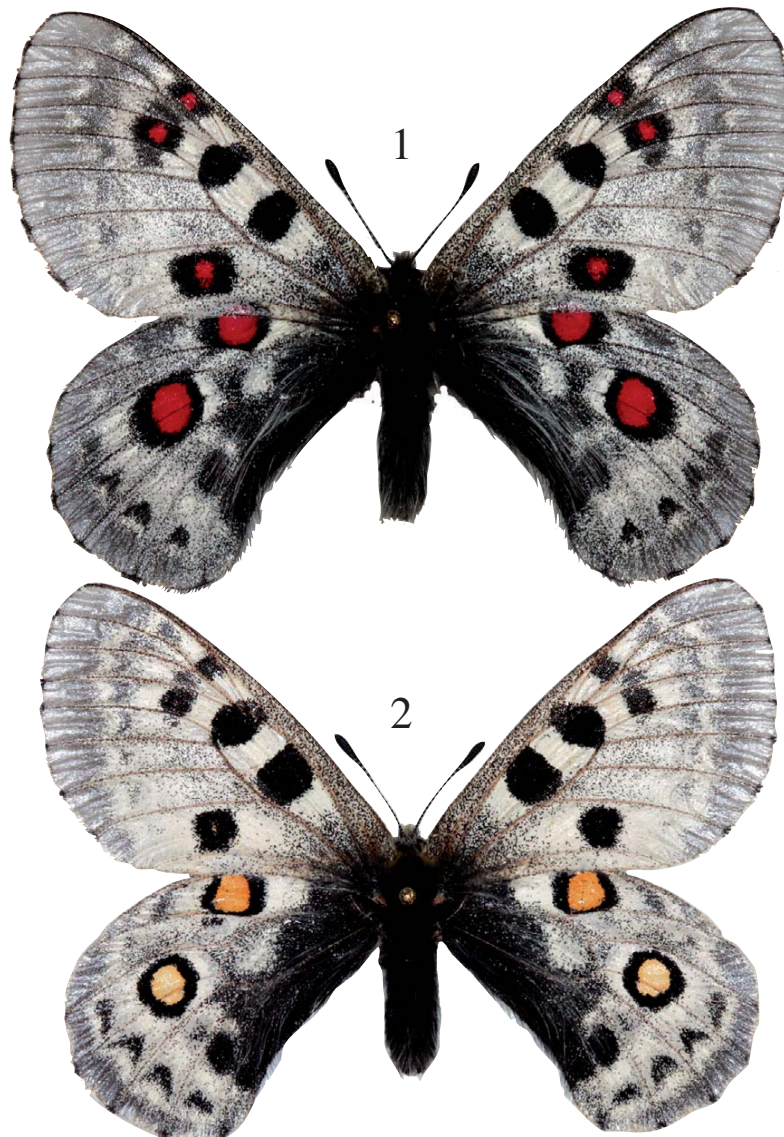


Abb. 1: *Parnassius tianschanicus tianschanicus* OBERTHÜR, 1879, typische Form.

Abb. 2: *Parnassius tianschanicus tianschanicus* OBERTHÜR, 1879, forma *orangeocellata* nova.

Anschrift des Verfassers: STANISLAV K. KORB, a/ya 2, Kniaghinino, Nizhny Novgorod reg., 606340 Russia
e-mail: stanislavkorb@list.ru

Colour plate 11



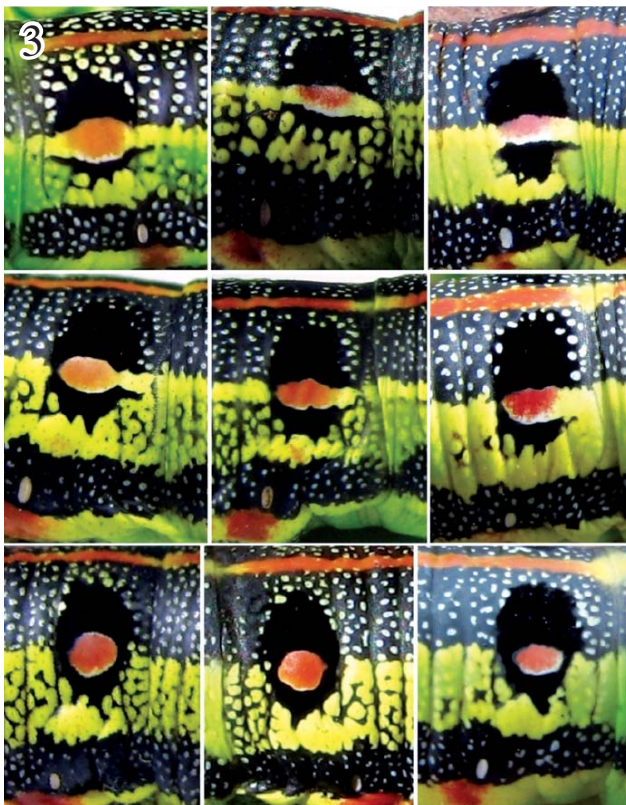
Fig. 2: Typical forms of larvae of La Gomera: (a) elongate, (b) intermediate and (c) round eye-spots.

Fig. 3: Typical eye-spots from La Gomera islands.

Fig. 4: Eye-spots F1 from ♂ *H. tithymali* (BDV.) La Gomera x ♀ *H. tithymali* (BDV.) Fuerteventura.

Fig. 5: Typical imago of *H. tithymali* (BDV.) from La Gomera island (similar to the nominal subspecies).

Fig. 6: Comparison between *H. tithymali* (BDV.) from La Gomera (A) and *H. t. phaelipae* GIL-T. & GIL-UCEDA, 2007 (B).



Colour plate 12

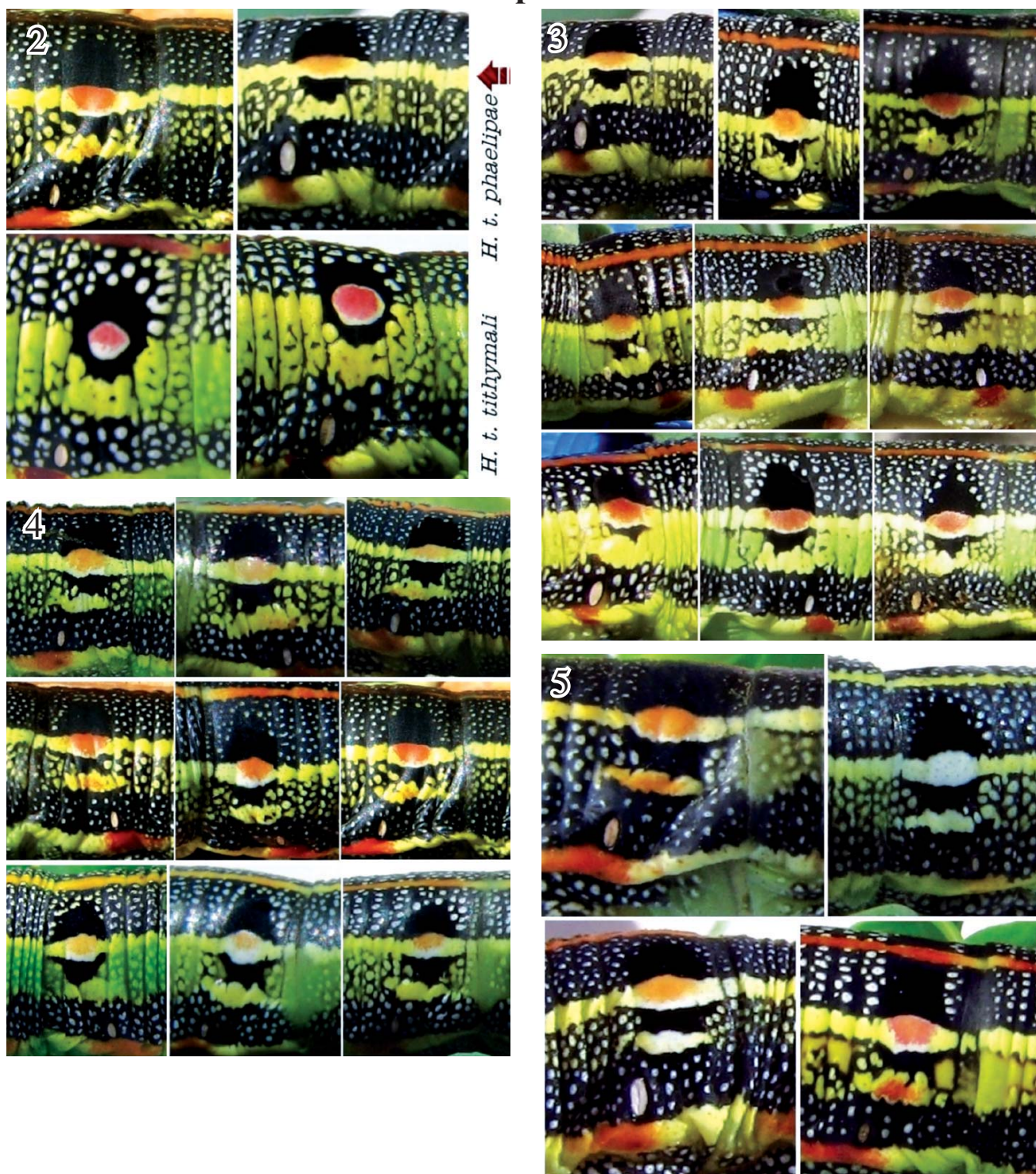


Fig. 2: Typical sections of larvae of *Hyles tithymali phaelipae* GIL-T. & GIL-UCEDA, 2007 (upper row) and *Hyles tithymali tithymali* (BOISDUVAL, 1832) (row at bottom).

Fig. 3: Typical sections of larvae of *Hyles tithymali phaelipae* GIL-T. & GIL-UCEDA, 2007 from El Hierro island (type locality).

Fig. 4: Typical sections of larvae of *Hyles tithymali phaelipae* GIL-T. & GIL-UCEDA, 2007 from La Palma island.

Fig. 5: Sample of larvae of *Hyles tithymali tithymali* (BOISDUVAL, 1832) showing an exclusive morphotype of La Palma island.

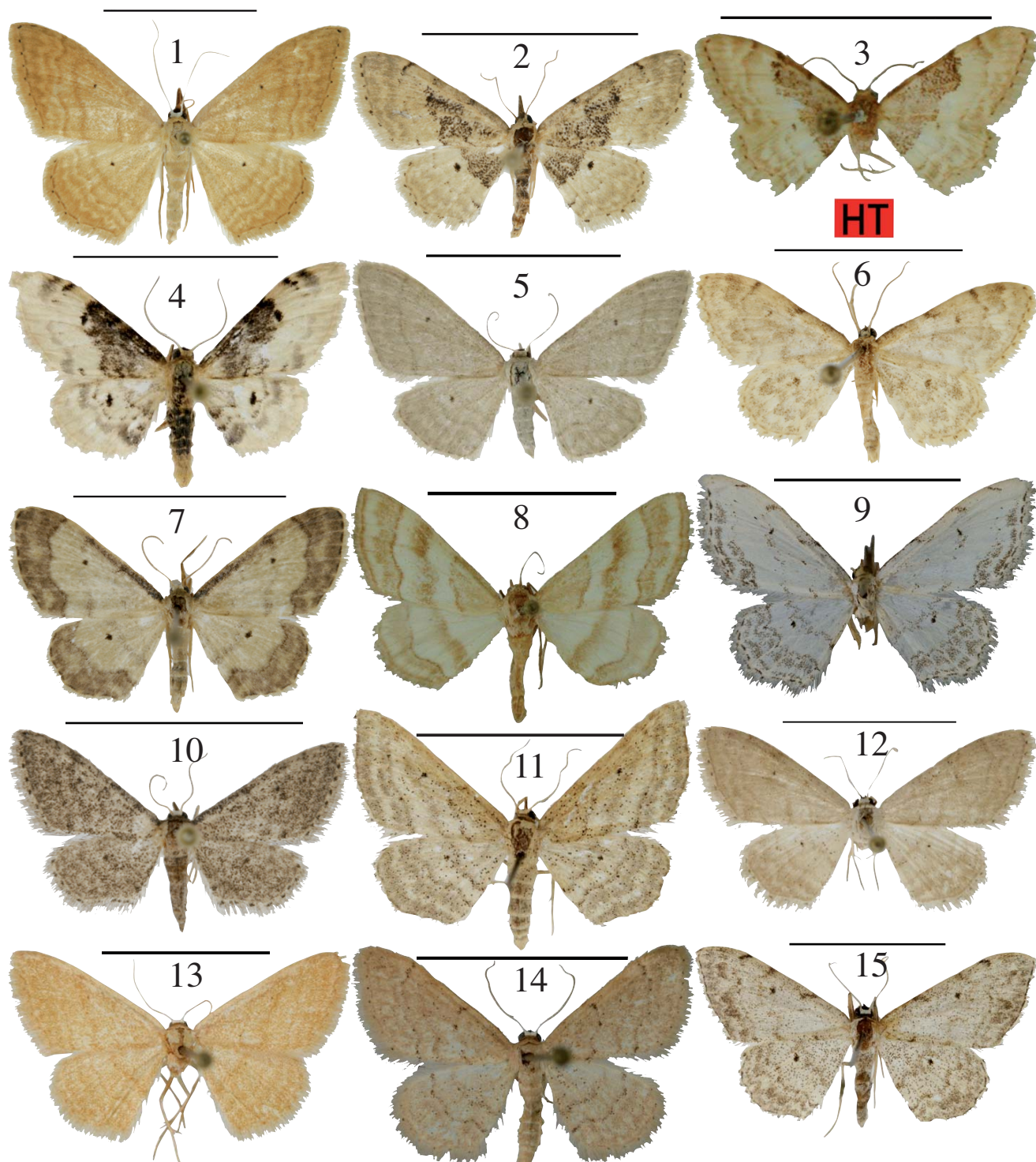
Colour plate 13

6



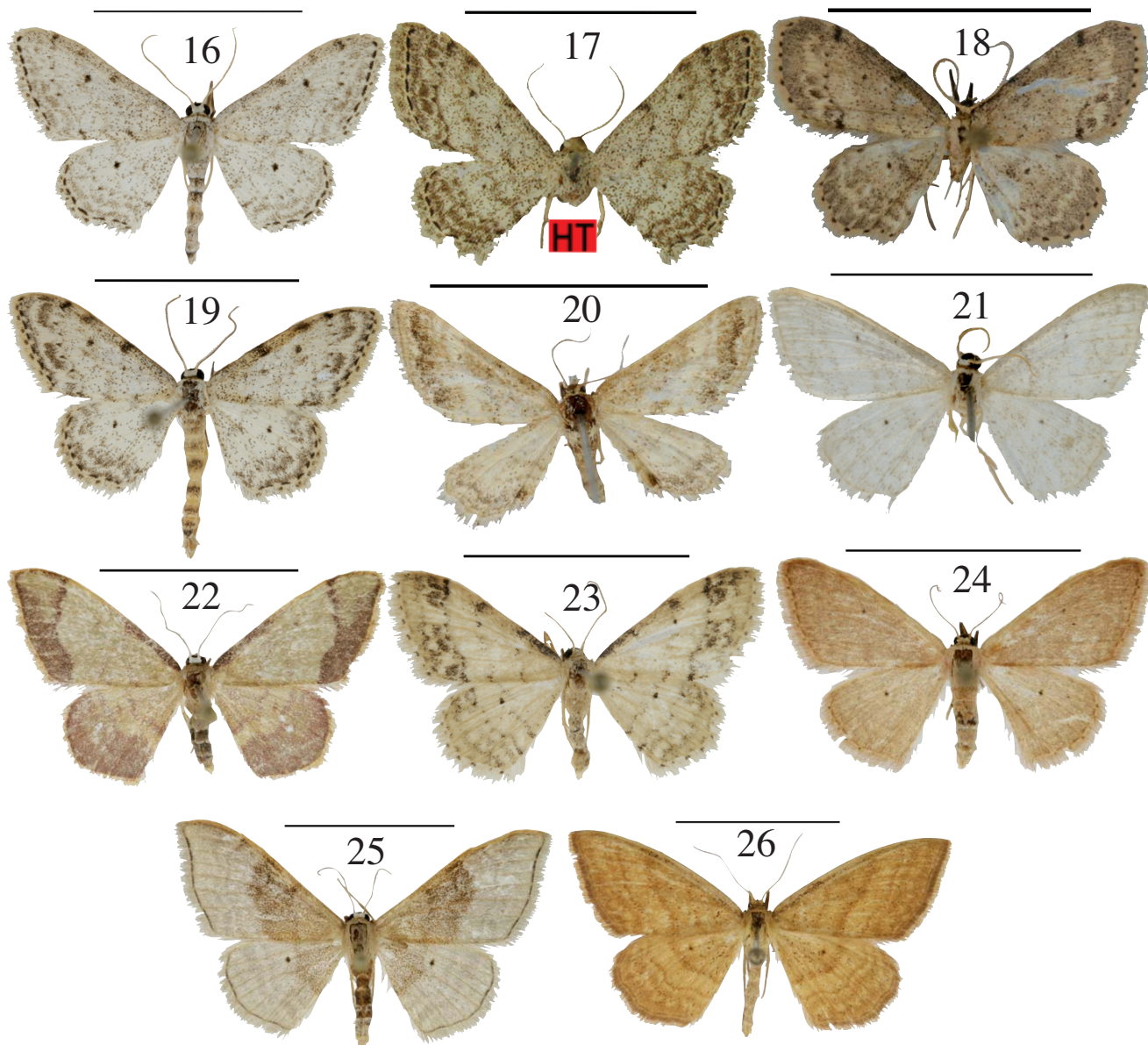
Fig. 6: Imagos from El Hierro (column A: *Hyles tithymali phaelipae* GIL-T. & GIL-UCEDA, 2007) and La Palma [column B: *Hyles tithymali tithymali* (BOISDUVAL, 1832)].

Farbtafel 14



- Abb. 1: *Idaea consanguinaria* (LEDERER, 1853), ♀, Zypern, Latsi bei Polis, 5.VI.2000, leg. LEWANDOWSKI & TOBER.
 Abb. 2: *Idaea intermedia* (STAUDINGER, 1879), ♂, Zypern, Latsi bei Polis, 31.V.2000, leg. LEWANDOWSKI & TOBER.
 Abb. 3: *Idaea completa apostolica* HAUSMANN, 1994, Holotypus ♂, Zypern, Paphos, 8.-15.V.1983, leg. WIMMER, coll. ZSM.
 Abb. 4: *Idaea filicata* (HÜBNER, 1799), ♂, Zypern, Nikoklela, 25.-31.III.2001, 150 m, leg. HENTSCHELEK.
 Abb. 5: *Idaea troglodytaria* (HYDENREICH, 1851), ♀, Zypern, Mylikouri, 10.VI.2002, leg. LEWANDOWSKI.
 Abb. 6: *Idaea inquinata* (SCOPOLI, 1763), ♂, Zypern, Kidasi, 9.VI.2000, leg. LEWANDOWSKI.
 Abb. 7: *Idaea politaria* (HÜBNER, 1799), ♂, Zypern, Prastio, 6.VI.2002, leg. LEWANDOWSKI.
 Abb. 8: *Idaea mimosaria wimmeri* HAUSMANN, 1994, ♂, Zypern, Kathikas, 9.VI.2002, leg. LEWANDOWSKI.
 Abb. 9: *Idaea textaria* (LEDERER, 1861), ♂, Zypern, Kakopetria, 13.X.1994, 700 m, leg. OSWALD, coll. ZSM.
 Abb. 10: *Idaea tineata* (THIERRY-MIEG, 1911), ♀, Zypern, Prastio, 16.VI.2001, leg. LEWANDOWSKI.

Farbtafel 15



- Abb. 11: *Idaea elongaria* (RAMBUR, 1833), ♀, Zypern, Nikoklela, 1.-8.V.2000, 150 m, leg. HENTSCHOLEK.
 Abb. 12: *Idaea palaestinensis* (STERNECK, 1933), ♀, Zypern, Latsi bei Polis, 13.VI.2000, leg. LEWANDOWSKI & TOBER.
 Abb. 13: *Idaea pehurlaria* (REISSER, 1939), ♀, Zypern, Pedhoulas, 23.VII.1981, 1000 m, leg. ARENBERGER, coll. ZSM.
 Abb. 14: *Idaea obsoletaria rufularia* (HERRICH-SCHÄFFER, 1847), ♂, Niederösterreich, Mödling, 11.XIII.1918, coll. ZSM.
 Abb. 15: *Idaea consolidata* (LEDERER, 1853), ♂, Zypern, Latsi bei Polis, 5.VI.2000, leg. LEWANDOWSKI & TOBER.
 Abb. 16: *Idaea seriata canteneraria* (BOISDUVAL, 1840), ♂, Zypern, Mosfilöti, 12.VI.2002, leg. LEWANDOWSKI.
 Abb. 17: *Idaea albitorquata maculifera* HAUSMANN, 1994, Holotypus ♀, Paphos, 17.VII.1993, e. o., leg. WIMMER, coll. ZSM.
 Abb. 18: *Idaea dimidiata antitaurica* (WEHRLI, 1931), ♂, Paphos, 18.X.1994, 10 m, leg. OSWALD, coll. ZSM.
 Abb. 19: *Idaea camparia* (HERRICH-SCHÄFFER, 1852), ♂, Zypern, Lefkara, 24.IX-8.X.2004, leg. LEWANDOWSKI.
 Abb. 20: *Idaea inclinata* (LEDERER, 1855), ♂, Zypern, Mosfilöti, 12.VI.2002, leg. LEWANDOWSKI & FISCHBACHER.
 Abb. 21: *Idaea subsericeata* (HAWORTH, 1809), ♂, Kathikas, 30.IX.2000, leg. LEWANDOWSKI.
 Abb. 22: *Idaea ostrinaria* (HÜBNER, [1813]), ♀, Zypern, Mylikouri, 10.VI.2002, leg. LEWANDOWSKI.
 Abb. 23: *Idaea trigeminata tenuirussata* (ZERNY, 1933), ♀, Zypern, Latsi bei Polis, 10.VI.2000, leg. LEWANDOWSKI & TOBER. **Abb. 24:** *Idaea distinctaria* (BOISDUVAL, 1840), ♀, Zypern, Mosfilöti, 12.VI.2002, leg. LEWANDOWSKI & FISCHBACHER. **Abb. 25:** *Idaea degeneraria* (HÜBNER, 1799), ♀, Zypern, Katö Platres, 29.IX.2000, leg. LEWANDOWSKI & FISCHBACHER. **Abb. 26:** *Idaea ochrata* (SCOPOLI, 1763), ♀, Zypern, Latsi bei Polis, 5.VI.2000, leg. LEWANDOWSKI & TOBER. Alle abgebildeten Falter coll. S. LEWANDOWSKI, falls nicht anders angegeben. Alle Fotos S. LEWANDOWSKI außer Abb. 3, 8 und 17. Maßstab 1 cm.

Farbtafel 16



Abb. 1: Aspe mit Stumpf im Garten nach Abrieb eines Stammteils.

Abb. 2: *Vanessa atalanta* (LINNAEUS, 1758) und *Vespa crabo* LINNAEUS, 1758 an der Aspe.

Farbtafel 17

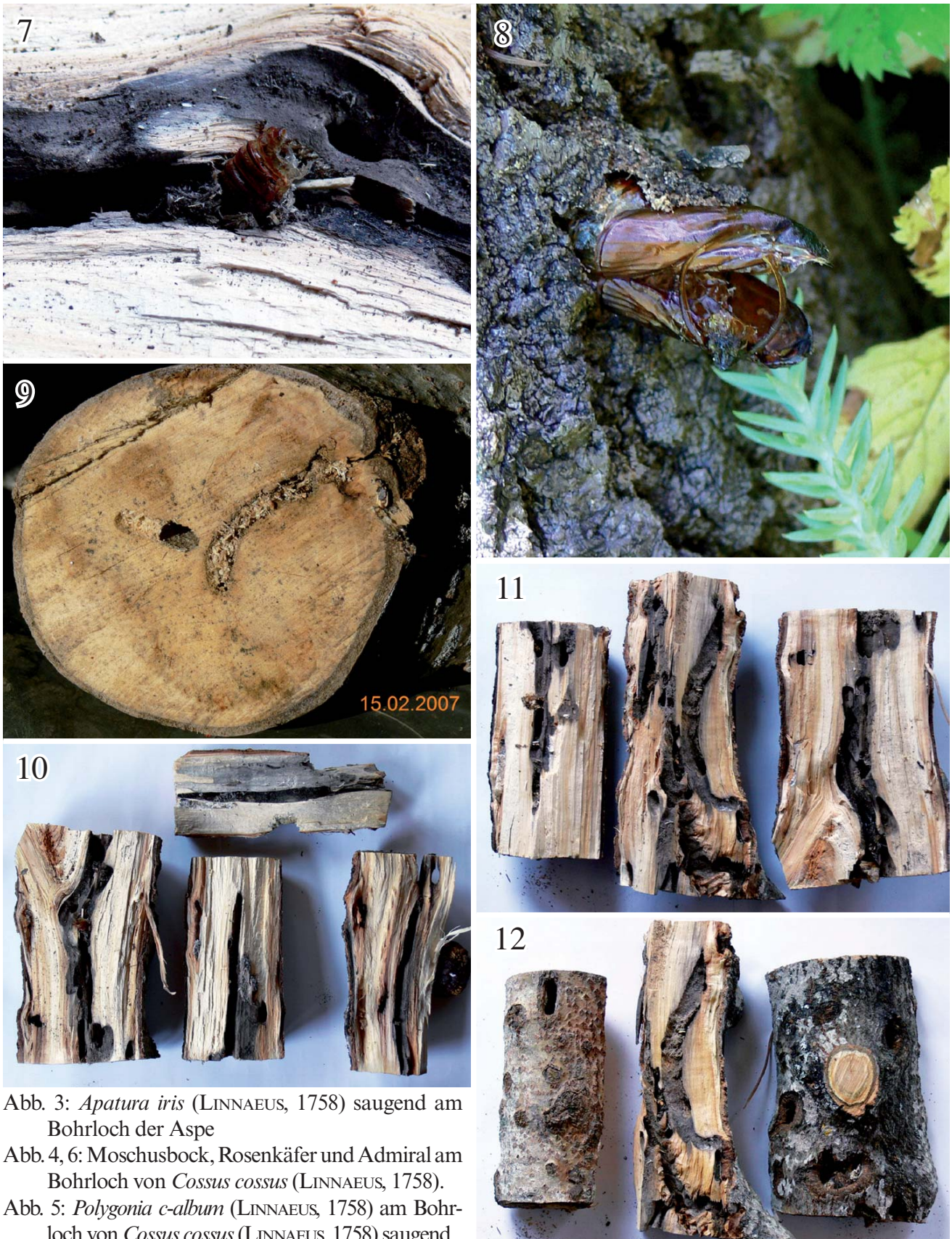


Abb. 3: *Apatura iris* (LINNAEUS, 1758) saugend am Bohrloch der Aspe

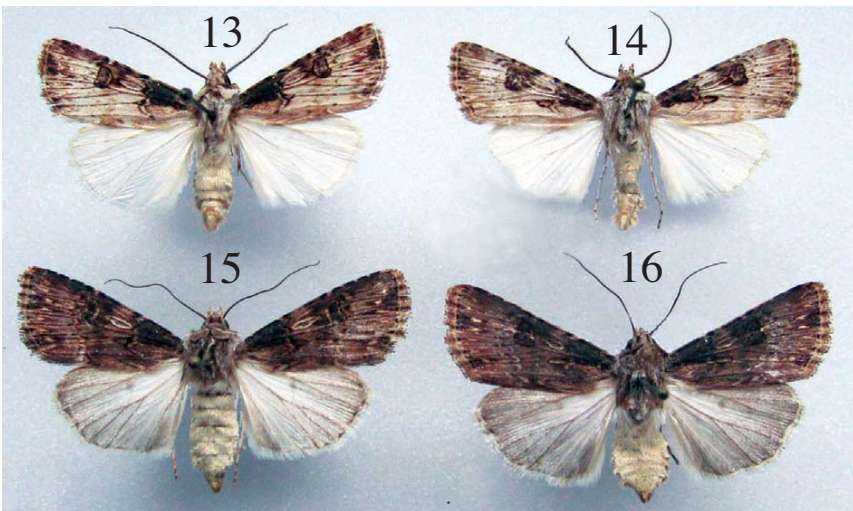
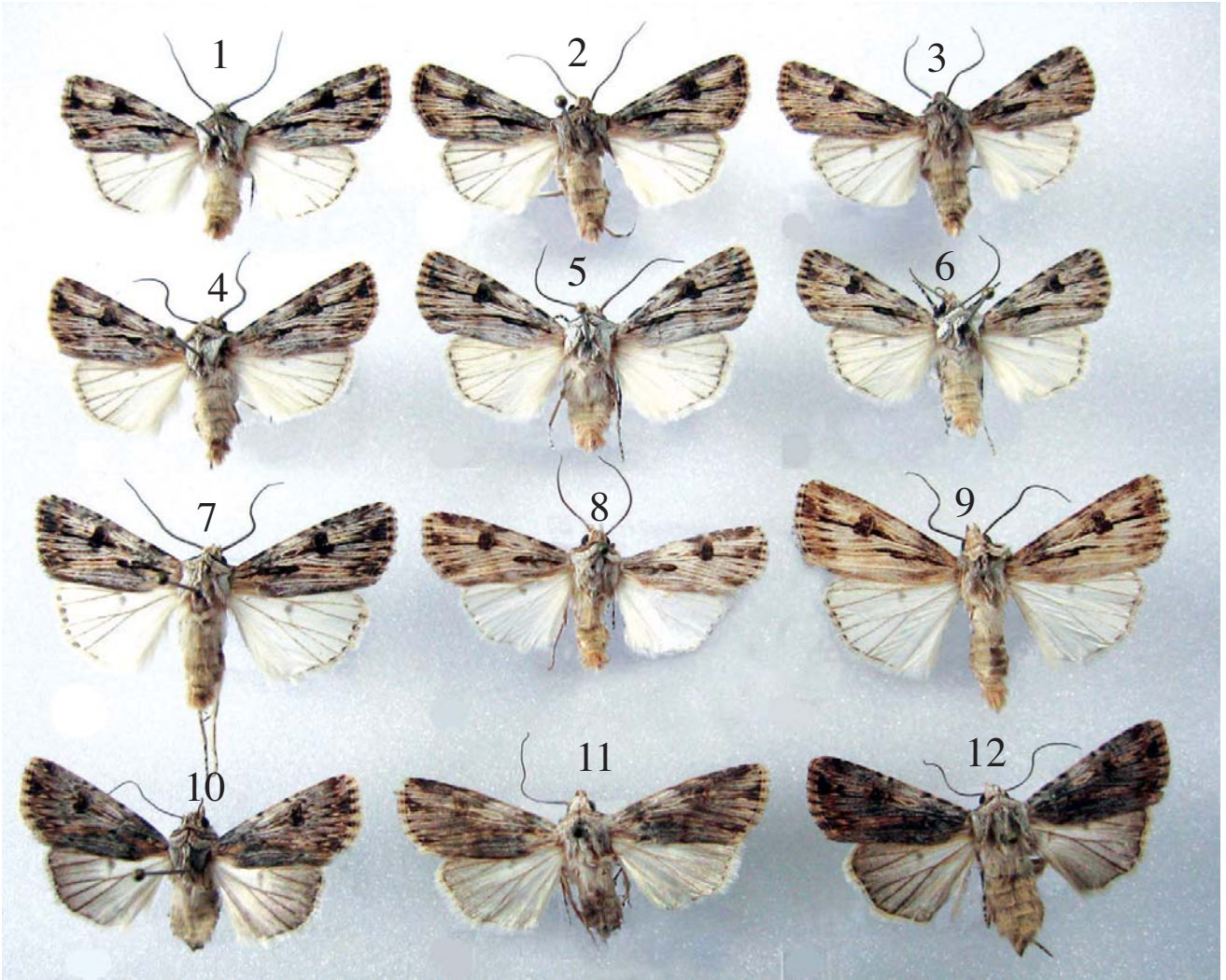
Abb. 4, 6: Moschusbock, Rosenkäfer und Admiral am Bohrloch von *Cossus cossus* (LINNAEUS, 1758).

Abb. 5: *Polygonia c-album* (LINNAEUS, 1758) am Bohrloch von *Cossus cossus* (LINNAEUS, 1758) saugend.

Abb. 7, 8: Puppe von *Cossus cossus* (LINNAEUS, 1758) im Aspenholz.

Abb. 9-12: Bohrlöcher und Fraßgänge durch *Cossus cossus* (LINNAEUS, 1758) verursacht.

Farbtafel 18



Tafellegende siehe Seite 288

ZOBODAT - www.zobodat.at

Zoologisch-Botanische Datenbank/Zoological-Botanical Database

Digitale Literatur/Digital Literature

Zeitschrift/Journal: [Atalanta](#)

Jahr/Year: 2010

Band/Volume: [41](#)

Autor(en)/Author(s): Redaktion

Artikel/Article: [Farbtafel 1 289-306](#)